



A quantitative gamma-ray spectrometric and aeromagnetic airborne geophysical survey of the Northwestern Athabasca Basin, Saskatchewan, was completed by Goldak Airborne Surveys. The survey was flown from June 24th to September 21st, 2010 using two Piper PA-31 Navajo aircraft (C-GJBA, C-GJBB) and one Cessna Caravan (C-GLDX). The nominal traverse and control line spacings were, respectively, 400 m and 2400 m, and the aircraft flew at a nominal terrain clearance of 125 m at airspeed between 200 and 270 km/h. Traverse lines were oriented 135° with orthogonal control lines. The flight path was recovered following post-flight differential corrections to raw data recorded by a Global Positioning System.

The airborne gamma-ray measurements were made with a Radiation Solutions RS-500 gamma-ray spectrometers using fourteen 102x102x406 mm NaI (Tl) crystals. The main detector array consisted of twelve crystals (total volume 50.4 litres). Two crystals (total volume 8.4 litres), shielded by the main array, were used to detect variations in background radiation caused by atmospheric radon. The system constantly monitored the natural thorium peak for each crystal, and using a Gaussian least squares algorithm, adjusted the gain for each crystal.

Potassium is measured directly from the 1460 keV gamma-ray photons emitted by K^{40} , whereas uranium and thorium are measured indirectly from gamma-ray photons emitted by daughter products (Bi^{214} for uranium and Tl^{208} for thorium). Although these daughters are far down their respective decay chains, they are assumed to be in equilibrium with their parents; thus gamma-ray spectrometric measurements of uranium and thorium are referred to as equivalent uranium and equivalent thorium, i.e. eU and eTh. The energy windows used to measure potassium, uranium and thorium are, respectively, 1370–1570 keV, 1660–1860 keV, and 2410–2810 keV.

Gamma-ray spectra were recorded at one-second intervals. Data processing followed standard procedures as described in IEA, 1991 and IEA, 2003. During processing, the spectra were energy calibrated, and counts were accumulated into the windows described above. Counts from the radon detectors were recorded in a 1660 - 1860 keV window and radiation at energies greater than 3000 keV was recorded in the cosmic window. The window counts were corrected for dead time, background activity from cosmic radiation, radioactivity of the aircraft and atmospheric radon decay products. The window data were then corrected for scatter scattering in the ground, air and detectors. Corrections for deviations from the planned terrain clearance and for variation of temperature and pressure were made prior to conversion to ground concentrations of potassium, uranium and thorium, using factors determined from flights over the Danielson, Saskatchewan calibration range. The factors for potassium, uranium, and thorium are listed in Table 1.

Table 1 Gamma Ray Spectrometer Sensitivities for each aircraft

Corrected data were filtered and interpolated to a 100 m grid interval. The results of an airborne gamma-ray spectrometer survey represent the average surface concentrations that are influenced by varying amounts of outcrop, overburden, vegetation cover, soil moisture and surface water. As a result the measured concentrations are usually lower than the actual bedrock concentrations. The total air absorbed dose rate in nanograys per hour was produced from measured counts between 400 and 2810 keV.

The magnetic field was sampled 10 times per second using a split-beam cesium vapour magnetometer (sensitivity = 0.005 nT) rigidly mounted to the aircraft. Differences in magnetic values at the intersections of control and traverse lines were computer-analysed to obtain a mutually levelled set of flight-line magnetic data. The levelled values were then interpolated to a 100 m grid. The International Geomagnetic Reference Field (IGRF) defined at the average GPS altitude of 510 m for the year 2010.61 was then removed. Removal of the IGRF, representing the magnetic field of the Earth's core, produces a residual component related essentially to magnetizations within the Earth's crust.

The vertical derivative of the magnetic field is the rate of change of the magnetic field in the vertical direction. Computation of the first vertical derivative removes long wavelength features of the magnetic field and significantly improves the resolution of closely spaced and superposed anomalies. A property of first vertical derivative maps is the coincidence of the zero-value contour with vertical contacts of magnetic units at high magnetic latitudes (Hood, 1965).

LEVÉ GÉOPHYSIQUE DE LA PARTIE NORD-OUEST DU BASSIN ATHABASCA
SASKATCHEWAN

Un levé géophysique aéroporté combinant l'acquisition de données de spectrométrie gamma et de données magnétique a été réalisé dans la partie nord-ouest du bassin de l'Atabasca en Saskatchewan par la société Goldair Airborne Surveys. Le levé a été effectué du 24 juin au 21 septembre 2010, à bord de deux avions Piper PA-31 Navajo (C-GJBA, C-GJBB) et d'un Cessna Caravan (C-GLDX). L'espacement nominal des lignes de vol était de 400 m et celui des lignes de contrôle de 2 400 m. L'altitude nominale de levé était de 125 m au-dessus du sol et la vitesse était incluse entre 200 km/h et 270 km/h. Les lignes de vol étaient orientées à 135° et les lignes de contrôle leur étaient perpendiculaires. La trajectoire de vol a été restituée par l'application après le vol de corrections différentielles aux données brutes enregistrées avec un récepteur GPS.

Les mesures du rayonnement gamma ont été effectuées à l'aide d'un spectromètre gamma Radiation Solutions RS-500 utilisant quatorze cristaux de NaI (Ti) de 102x102x406 mm. Le réseau de capteurs principal se composait de douze cristaux (volume total de 50,4 litres). Deux cristaux (volume total de 8,4 litres), protégés par le réseau principal, ont été utilisés pour détecter les variations du rayonnement naturel causées par le radon atmosphérique. Le dispositif permettait de faire un suivi constant des pics du thorium pour chacun des cristaux et, au moyen d'un algorithme d'ajustement gaussien par la méthode des moindres carrés, de compenser le gain pour chacun des cristaux.

Le potassium est mesuré directement d'après les photons gamma de 1 460 keV émis par le K^{40} , tandis que l'uranium et le thorium sont mesurés indirectement d'après les photons gamma émis par des produits de fission (Bq^{137} pour l'uranium et Tl^{208} pour le thorium). Bien que ces radionucléides de fission se trouvent loin dans leur chaîne respective de désintégration, on présume qu'ils sont en équilibre avec leur radionucléide père; ainsi, les mesures spectrométriques du rayonnement gamma de l'uranium et du thorium sont désignées comme des équivalents d'uranium et des équivalents de thorium, soit Eu et EtH . Les plages d'énergie utilisées pour mesurer le potassium, l'uranium et le thorium sont respectivement : de 1 370 à 1 570 keV, de 1 660 à 1 860 keV et de 2 410 à 2 810 keV. Le débit total de la dose absorbée par l'air, en nanograys à l'heure, a été déterminé d'après les coups mesurés dans la plage de 400 à 2 810 keV.

3. Spectre du rayonnement gamma ont été enregistrés à intervalle d'une seconde. Le traitement des données a suivi les procédures standards décrites dans l'IAEA, 1991. Pendant le traitement, les spectres ont été soustraits à un fond énergétique et les coups ont été cumulés dans les plages décrites ci-dessus. Les coups obtenus à l'aide des spectres ont été corrigés en tenant compte de l'efficacité de comptage, de la géométrie de la source, de la décroissance radioactive et de la correction cosmique. Les comptes enregistrés dans les plages ont été corrigés pour tenir compte du temps mort instrumental, du rayonnement cosmique, de la radioactivité de l'instrument et de la correction de la décroissance radioactive. Les données corrigées ont été converties en concentrations de radionucléides en Bq/L en fonction des écart-types à la hauteur de vol prévue et pour les variations de température et de pression ont ensuite été effectuées. Finalement, la conversion en concentrations équivalentes au sol de potassium, d'uranium et de thorium a été réalisée en utilisant des facteurs déterminés lors de vols effectués au-dessus de la bande d'altimétrie de Danielson, Saskatchewan (Canada) (Barnes et al., 1999). Les données corrigées ont été présentées au Tableau 1. Pour la mise en carte, un filtre a été appliqué aux données corrigées, qui ont ensuite été interpolées suivant une grille à maille de 100 m.

Tableau 1. Sensibilités des spectromètres de chacun des aéronefs

Les résultats d'un levé aéroporté de spectrométrie gamma repré-

Données sur le champ magnétique

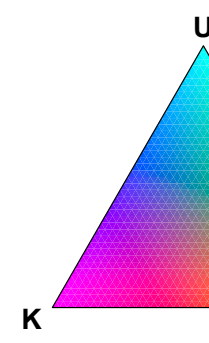
Le champ magnétique a été échantillonné 101 fois par seconde à l'aide d'un magnétomètre à vapeur de césium à faisceau partagé (sensibilité = 0,005 nT) rigidement fixé à l'aéronef. Les différences de valeur du champ magnétique aux intersections des lignes de contrôle et des lignes de levé ont été analysées afin d'obtenir un ensemble de données sur le champ magnétique mutuellement nivelées sur les lignes de vol. Ces valeurs nivelées ont ensuite été interpolées suivant une grille à maille de 100 m. Le champ géomagnétique international de référence (International Geomagnetic Reference Field, IGRF) diffère à l'altitude moyenne de 510 m fournie par les données GPS pour l'année 2010,61 et a été soustrait. La soustraction de l'IGRF, qui représente le champ magnétique du noyau terrestre, fournit une composante résiduelle essentiellement reliée à la magnétisation de l'écorce terrestre.

La dérivée première verticale du champ magnétique représente le taux auquel varie le champ magnétique suivant la verticale. Le calcul de la dérivée première verticale supprime les composantes de grande longueur d'onde du champ magnétique et améliore considérablement la résolution des anomalies rapprochées les unes des autres ou superposées. L'une des propriétés des cartes de la dérivée première verticale est la coïncidence de l'isogamme de valeur zéro et des contacts verticaux aux hautes latitudes magnétiques (Hood, 1965).

Hood, P.J. 1965. Gradient measurements in aeromagnetic surveying; *Geophysics*, v.30, p.891-902

International Atomic Energy Agency, 1991. Airborne gamma ray spectrometer surveying. Technical Reports Series 323, IAEA, Vienna

International Atomic Energy Agency, 2003. Guide lines for radioelement mapping using gamma ray spectrometry data. Technical Reports Series 1363. IAEA, Vienna



NATIONAL TOPOGRAPHIC SYSTEM REFERENCE AND GEOPHYSICAL MAP INDEX
SYSTÈME NATIONAL DE RÉFÉRENCE CARTOGRAPHIQUE ET INDEX DES CARTES GÉOPHYSIQUES

OCS Open File numbers shown in red

OCS Open File numbers shown in blue

60°N

55°N

50°N

45°N

40°N

110°W

105°W

100°W

95°W

90°W

85°W

80°W

75°W

70°W

65°W

60°W

55°W

50°W

45°W

40°W

35°W

30°W

25°W

20°W

15°W

10°W

5°W

0°

5°E

10°E

15°E

20°E

25°E

30°E

35°E

40°E

45°E

50°E

55°E

60°E

65°E

70°E

75°E

80°E

85°E

90°E

95°E

100°E

105°E

110°E

115°E

120°E

125°E

130°E

135°E

140°E

145°E

150°E

155°E

160°E

165°E

170°E

175°E

180°

185°

190°

195°

200°

205°

210°

215°

220°

225°

230°

235°

240°

245°

250°

255°

260°

265°

270°

275°

280°

285°

290°

295°

300°

305°

310°

315°

320°

325°

330°

335°

340°

345°

350°

355°

360°

365°

370°

375°

380°

385°

390°

395°

400°

405°

410°

415°

420°

425°

430°

435°

440°

445°

450°

455°

460°

465°

470°

475°

480°

485°

490°

495°

500°

505°

510°

515°

520°

525°

530°

535°

540°

545°

550°

555°

560°

565°

570°

575°

580°

585°

590°

595°

600°

605°

610°

615°

620°

625°

630°

635°

640°

645°

650°

655°

660°

665°

670°

675°

680°

685°

690°

695°

700°

705°

710°

715°

720°

725°

730°

735°

740°

745°

750°

755°

760°

765°

770°

775°

780°

785°

790°

795°

800°

805°

810°

815°

820°

825°

830°

835°

840°

845°

850°

855°

860°

865°

870°

875°

880°

885°

890°

895°

900°

905°

910°

915°

920°

925°

930°

935°

940°

945°

950°

955°

960°

965°

970°

975°

980°

985°

990°

995°

1000°

1005°

1010°

1015°

1020°

1025°

1030°

1035°

1040°

1045°

1050°

1055°

1060°

1065°

1070°

1075°

1080°

1085°

1090°

1095°

1100°

1105°

1110°

1115°

1120°

1125°

1130°

1135°

1140°

1145°

1150°

1155°

1160°

1165°

1170°

1175°

1180°

1185°

1190°

1195°

1200°

1205°

1210°

1215°

1220°

1225°

1230°

1235°

1240°

1245°

1250°

1255°

1260°

1265°

1270°

1275°

1280°

1285°

1290°

1295°

1300°

1305°

1310°

1315°

1320°

1325°

1330°

1335°

1340°

1345°

1350°

1355°

1360°

1365°

1370°

1375°

1380°

1385°

1390°

1395°

1400°

1405°

1410°

1415°

1420°

1425°

1430°

1435°

1440°

1445°

1450°

1455°

1460°

1465°

1470°

1475°

1480°

1485°

1490°

1495°

1500°

1505°

1510°

1515°

1520°

1525°

1530°

1535°

1540°

1545°

1550°

1555°

1560°

1565°

1570°

1575°

1580°

1585°

1590°

1595°

1600°

1605°

1610°

1615°

1620°

1625°

1630°

1635°

1640°

1645°

1650°

1655°

1660°

1665°

1670°

1675°

1680°

1685°

1690°

1695°

1700°

1705°

1710°

1715°

1720°

1725°

1730°

1735°

1740°

AIRBORNE GEOPHYSICAL SURVEY OF THE NORTHWESTERN ATHABASCA BASIN, SASKATCHEWAN
 ENQUÊTE GÉOPHYSIQUE AÉROPORTÉE DE LA PARTIE NORD-OUEST DU BASSIN ATHABASCA, SASKATCHEWAN

Recommended citation:
Fertig, B., Gesteira, M., Buckle, J., Hofford, S. and Delaney, C. 2014.

Geophysical Series,
Airborne Geophysical Survey of the Northwestern Athabasca Basin, Saskatchewan

NTS 74 OJ07, Lowe Lake;
Geological Survey of Canada, Open File 6810;

Notation bilingue officielle :

Fortin, R., Coyle, M., Buckle, J., Hefford, S. et Delaney, G., 2011.
Série des cartes géophysiques,
Levé géophysique aéroporté de la partie nord-ouest du bassin Athabasca, Saskatchewan,
1:50 000, 1:250 000, 1:500 000, 1:1 000 000.

Ministère de l'Énergie et des Ressources de la Saskatchewan (SMER), Open File 2011-45, échelle 1/50 000.

This airborne geophysical survey and the production of this map were funded by the Saskatchewan Ministry of Energy and Resources and the GEM-Energy Program of the Earth Sciences Sector, Natural Resources Canada.

Ce levé géophysique aéroporté et la production de cette carte ont été financés par le ministère de l'Énergie et des Ressources de la Saskatchewan et le programme GEM-Énergie du Secteur des sciences de la Terre, Ressources naturelles Canada.

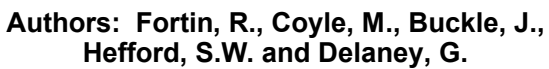
GSC OPEN FILE 6810 / DOSSIER PUBLIC 6810 DE LA CGC
SMER OPEN FILE 2011-45

GEOPHYSICAL SERIES / SÉRIE DES CARTES GÉOPHYSIQUES

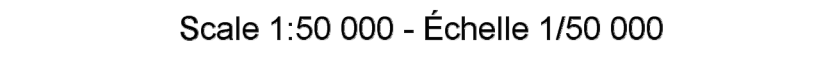
AIRBORNE GEOPHYSICAL SURVEY OF THE NORTHWESTERN ATHABASCA BASIN, SASKATCHEWAN
LEVÉ GÉOPHYSIQUE AÉROPORTÉ DE LA PARTIE NORD-OUEST DU BASSIN ATHABASCA, SASKATCHEWAN

NTS 74 O/07 Lowe Lake / SNRC 74 O/07 Lowe Lake

TERNARY RADIOELEMENT MAP
DIAGRAMME TERNAIRE DES RADIOÉLÉMENTS



Data acquisition, compilation and map production by Goldak Airborne Surveys, Saskatoon, Saskatchewan. Contract and project management by the Geological Survey of Canada, Ottawa, Ontario.



NAD83 / UTM zone 12N

**Auteurs : Fortin, R., Coyle, M., Buckle, J.,
Hefford, S.W. et Delaney, G.**

L'acquisition, la compilation des données ainsi que la production des cartes furent effectuées par Goldak Airborne Surveys, Saskatoon, Saskatchewan. La gestion et la supervision du projet furent effectuées par la Commission géologique du Canada, Ottawa, Ontario.